

# Analyse de primitives cryptographiques récentes

Soutenance de doctorat de Brice Minaud

Directeur de thèse : Pierre-Alain Fouque

Rapporteurs : Henri Gilbert

Louis Goubin

Examineurs : Anne Canteaut

Jean- Sébastien Coron

Antoine Joux

Reynald Lercier

David Pointcheval

Rennes, 7 octobre 2016

# Plan

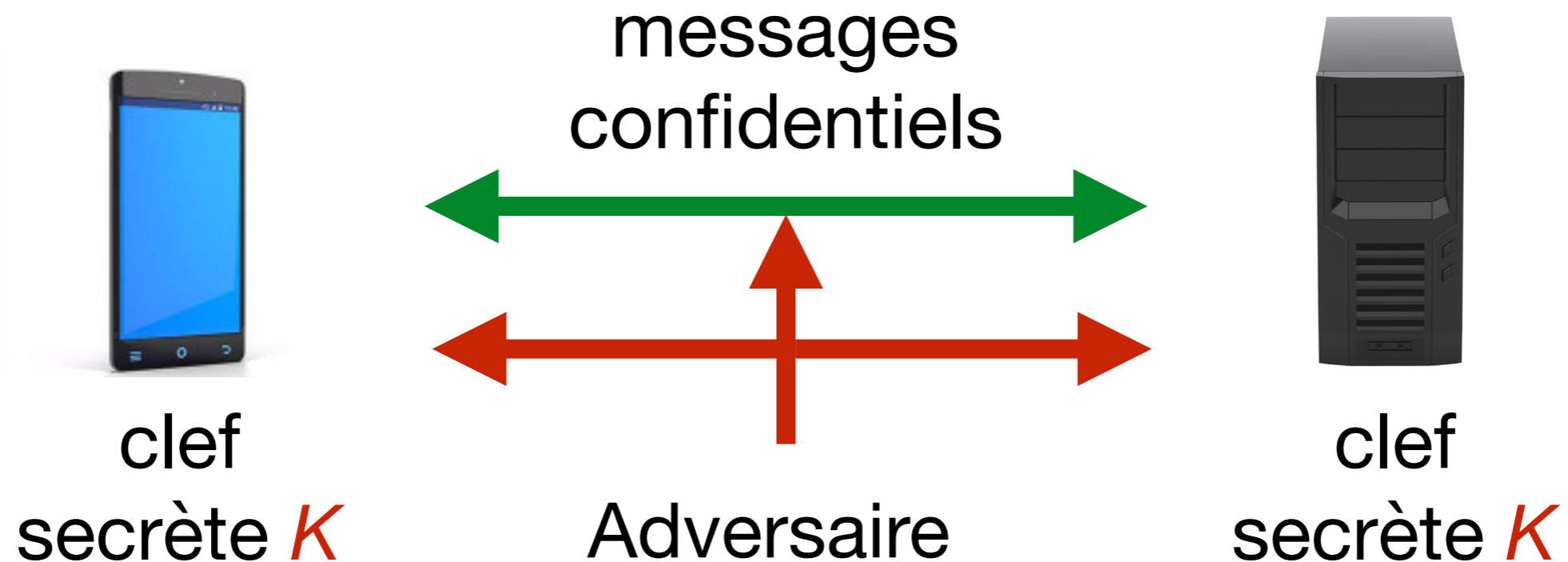
Introduction.

- 1.** Cryptanalyse de Robin, iSCREAM et Zorro.
- 2.** Cryptanalyse structurelle d'ASASA.
- 3.** Cryptanalyse de l'application multilinéaire CLT15.

# Introduction

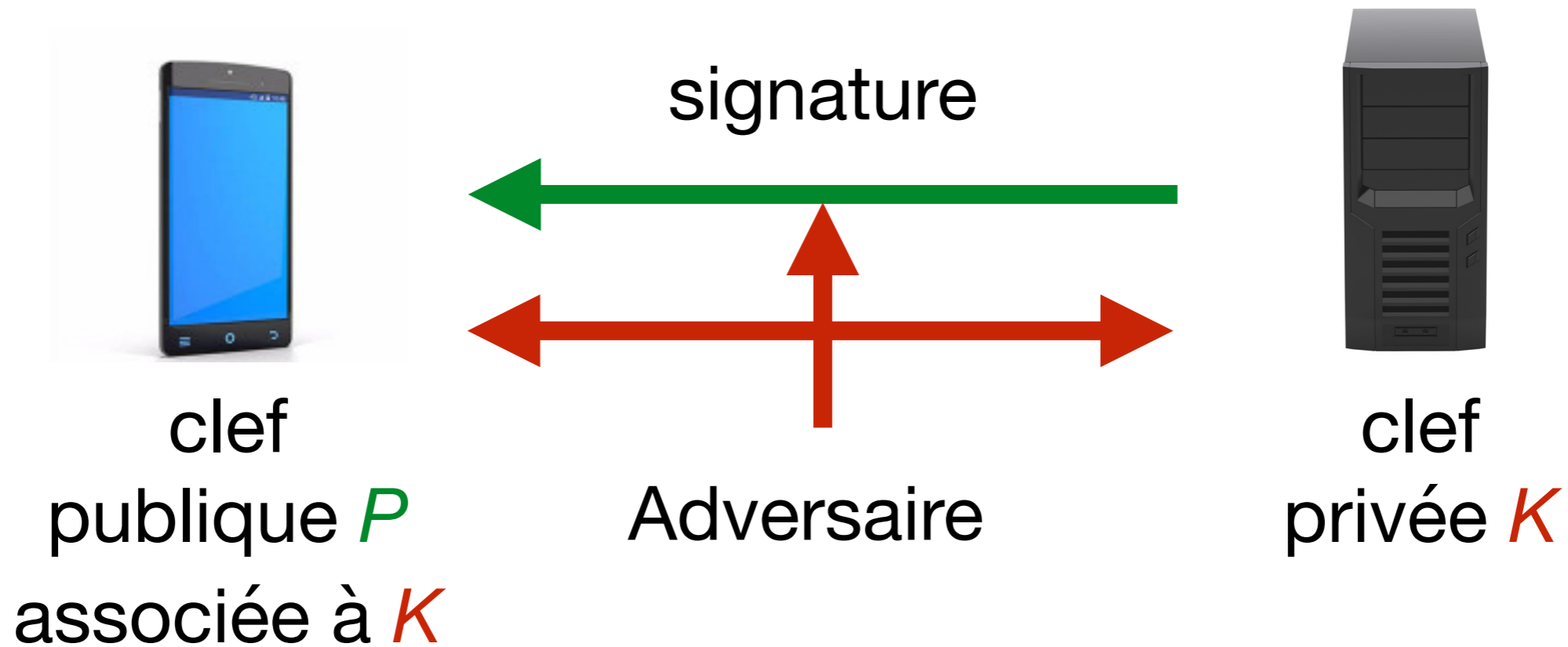
# Cryptographie

Principalement : conception et analyse de communications (informatiques) sécurisées.



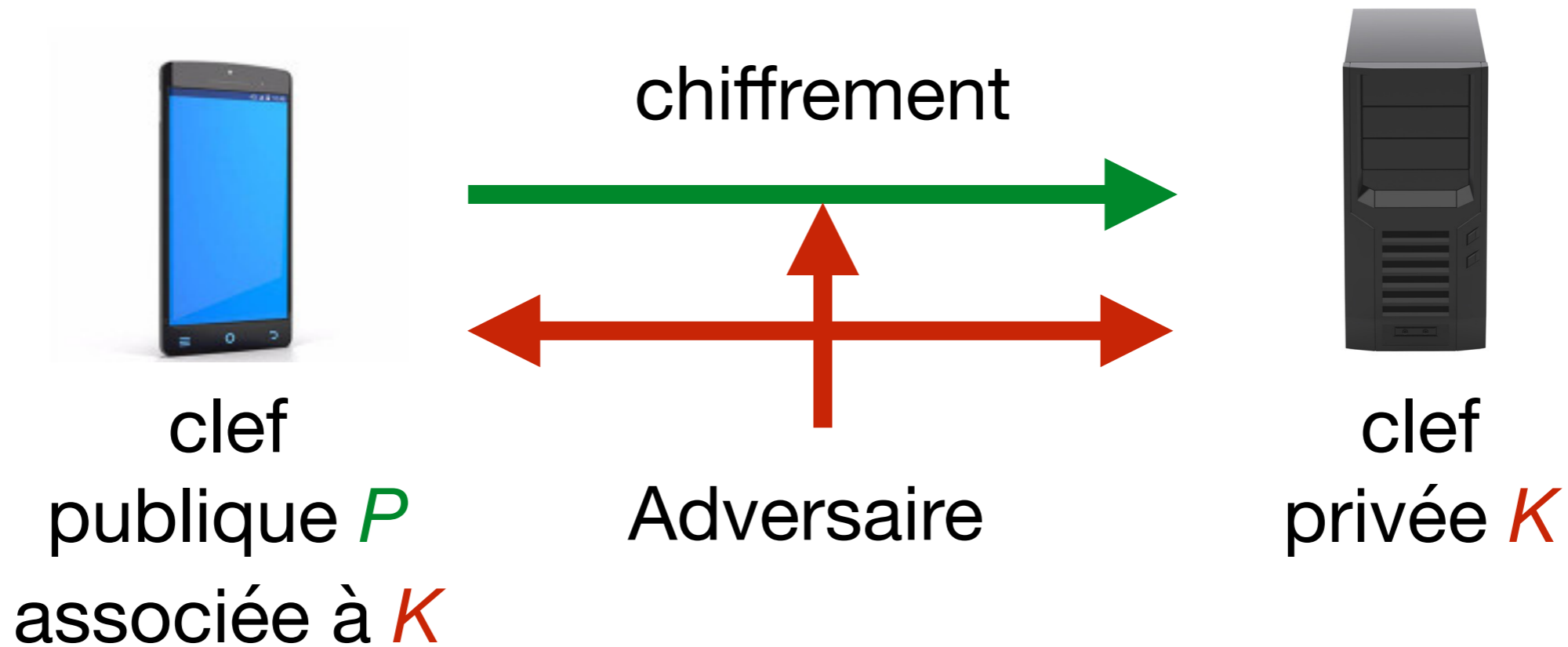
L'adversaire n'apprend rien du contenu des messages.

# Cryptographie asymétrique



Notion asymétrique : signature électronique.

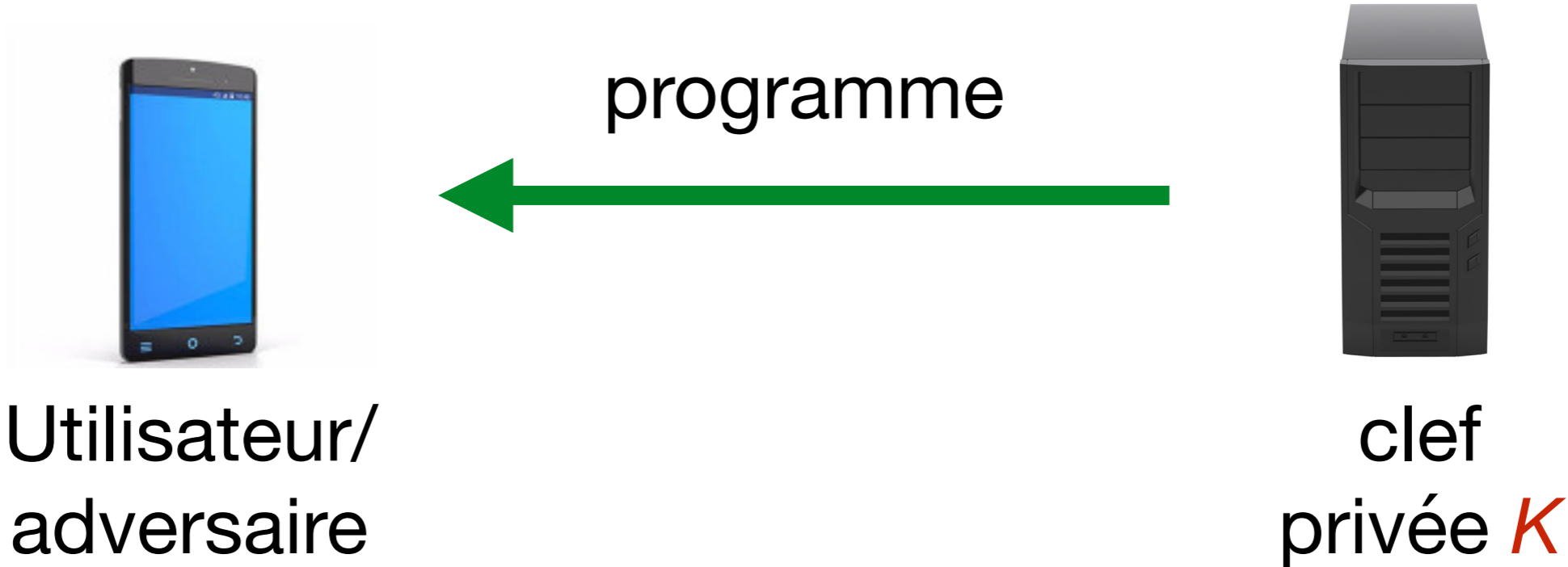
# Cryptographie asymétrique



Notion asymétrique : signature électronique.

Notion «duale» : chiffrement à clef publique.

# Obfuscation



Autre exemple de notion cryptographique :  
l'obfuscation.

L'utilisateur peut exécuter un programme sans  
rien apprendre de son fonctionnement interne.

# Cryptanalyse

La **cryptanalyse** consiste à étudier la sécurité des constructions précédentes.

Concrètement : chercher des attaques.

A plus long terme : améliorer la compréhension des constructions.

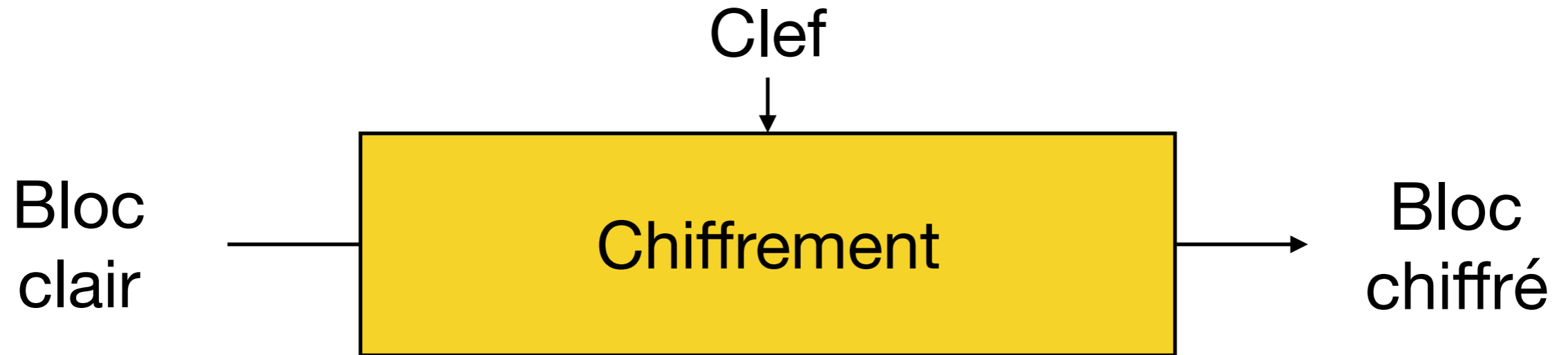


1<sup>e</sup> partie

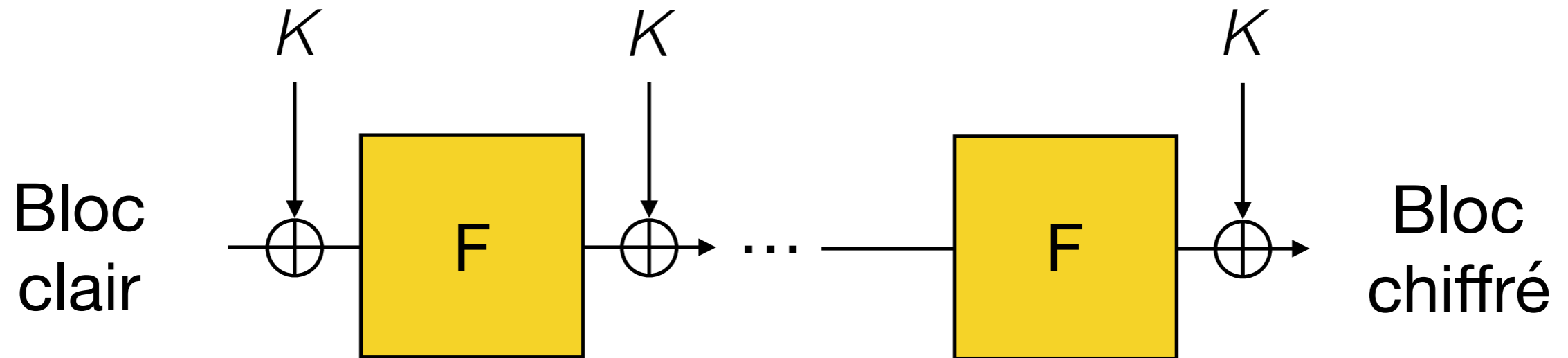
# Cryptanalyse de Robin, iSCREAM et Zorro

# Attaque par sous-espaces invariants

# Chiffrements par bloc



# Chiffrements par bloc



Certains chiffrements légers n'ont pas de cadencement de clef.

Noekeon (NESSIE 2000), LED (CHES 2011), Zorro (CHES 2013), Robin (FSE 2014)...

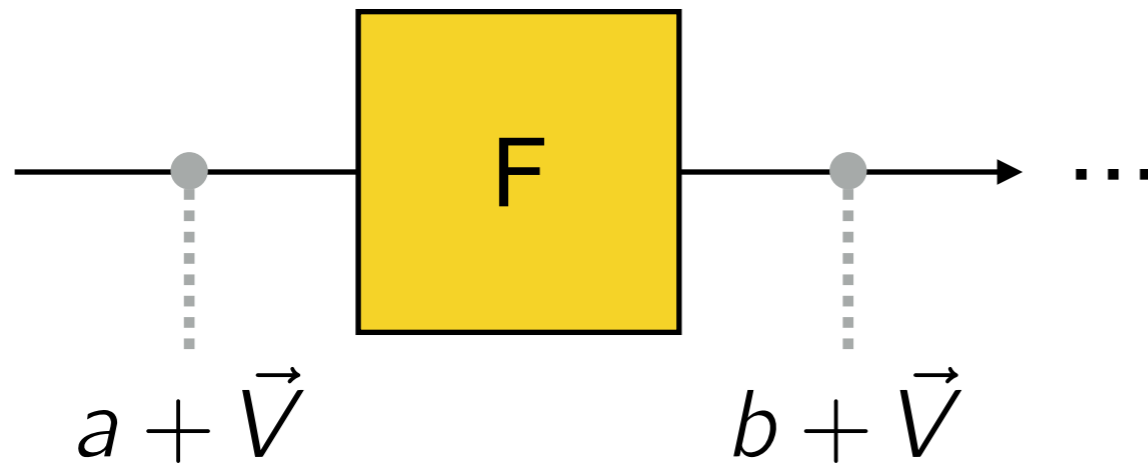
# Attaques par sous-espace invariant

**Les Attaques par sous-espaces invariants**  
(Invariant Subspace Attacks) ont été introduites à  
CRYPTO 2011.

Utilisées pour casser PRINTCIPHER [LAKZ11].

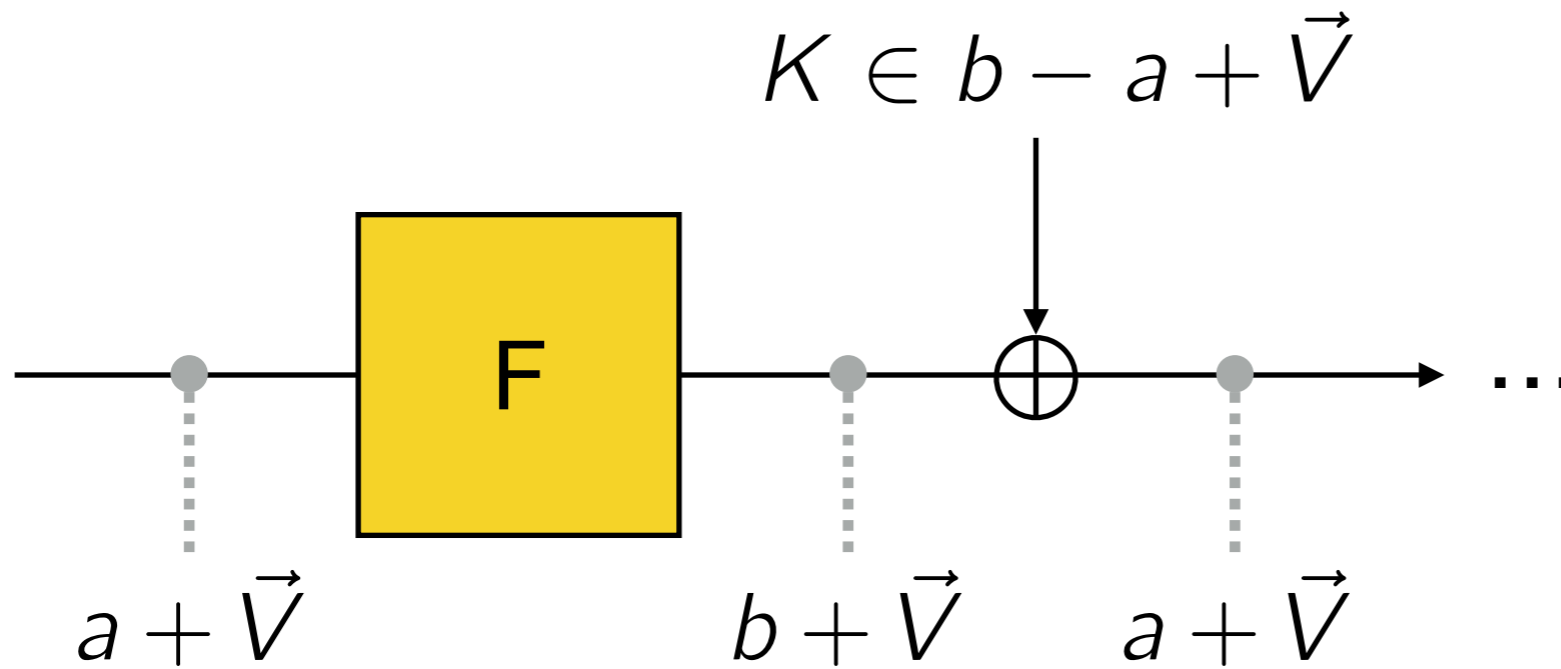
S'appuie sur l'absence de cadencement de clef.

# Sous-espace invariant



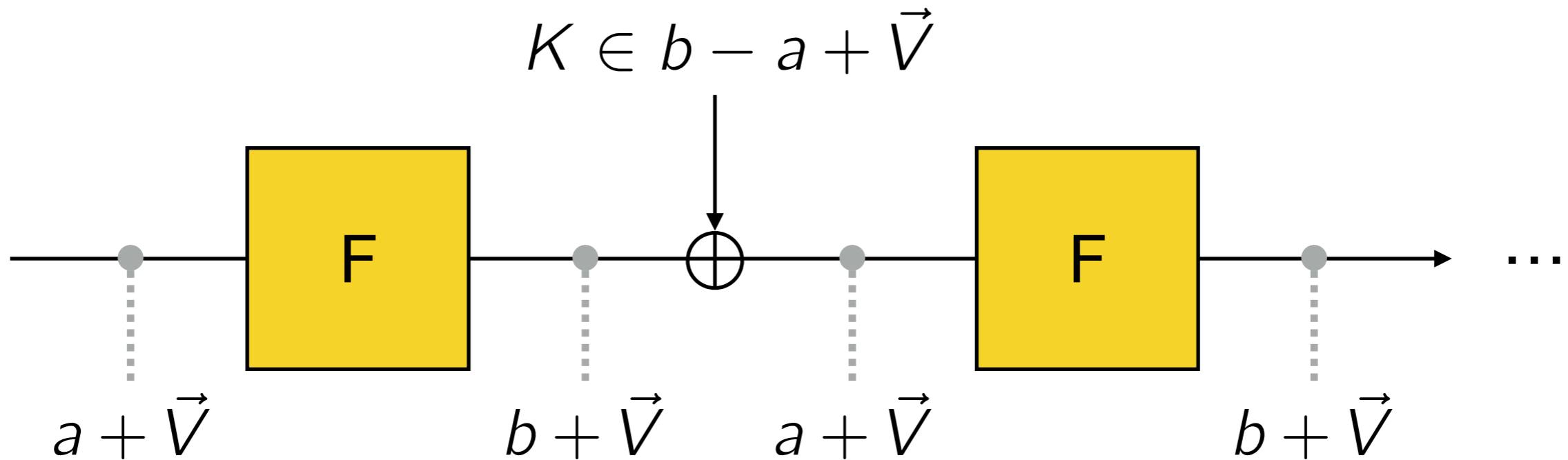
Supposons que la fonction de tour envoie un espace vectoriel sur un coset du même espace.

# Sous-espace invariant



Supposons aussi  $K \in b - a + \vec{V} \dots$

# Sous-espace invariant



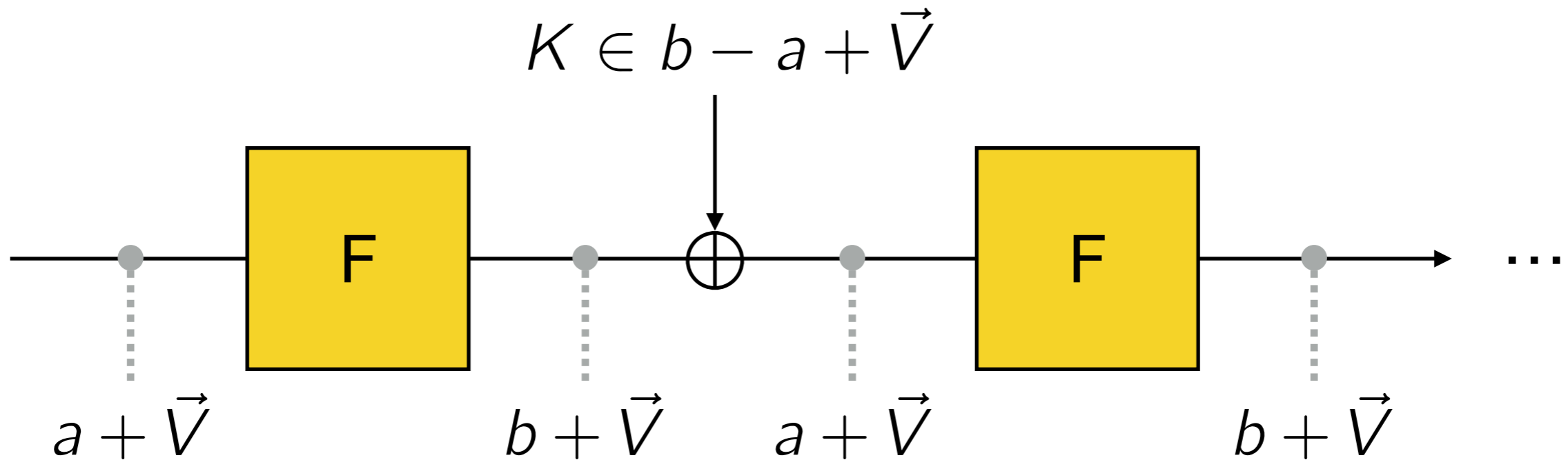
Supposons aussi  $K \in b - a + \vec{V} \dots$

Alors le processus se répète.

Les clairs de  $a + \vec{V}$  sont chiffrés dans  $b + \vec{V}$ .



# Sous-espace invariant

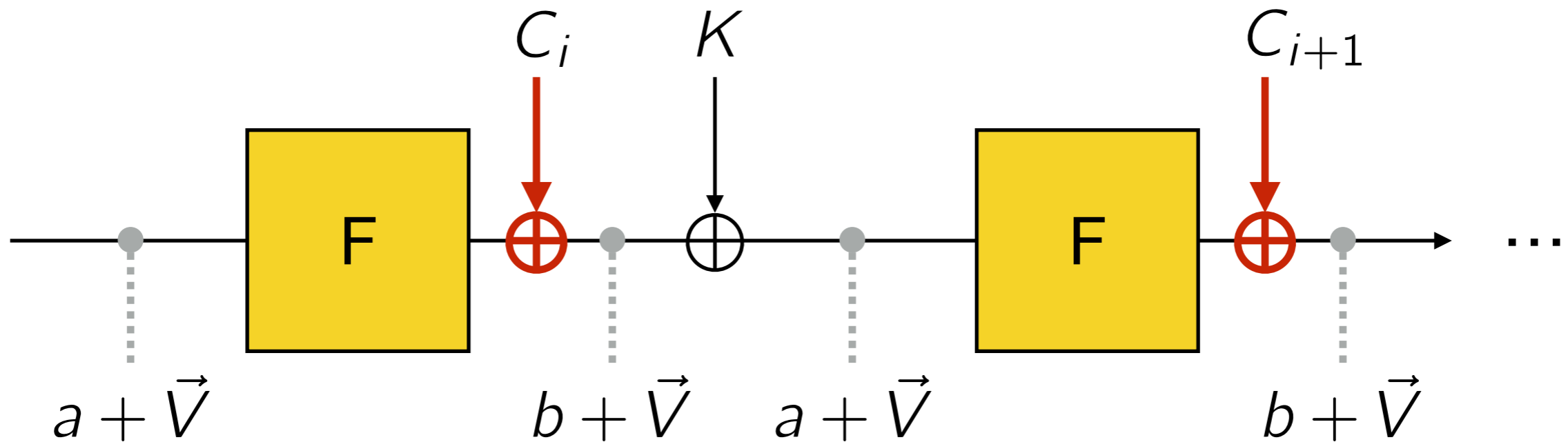


La confidentialité est perdue.

Densité des clefs faibles:  $2^{-\text{codim } \vec{V}}$

# Algorithme générique de recherche de sous-espace invariant

# Constantes de tour



En fait on veut  $\forall i, C_i \in \vec{V}$

Cela fournit un “noyau”  $\vec{W} = \text{span}\{C_i\} \subseteq \vec{V}$

Si on devine un offset  $s \in a + \vec{V}$ ,  
on connaît un sous-espace de  $a + \vec{V}$ .

# Algorithme générique


## Algorithme générique

1.  $\vec{W} \leftarrow \text{span} \{C_i\}$
2. Deviner offset  $s$
3. Calculer  $\text{Closure}(s + \vec{W})$
4. Répéter jusqu'à ce que  $\dim(\text{Closure}) < n$

Si  $a + \vec{V}$  est en fait linéaire : résultat instantané.

Sinon, en moyenne :  $2^{-\text{codim } \vec{V}}$  essais.

# Résultats de l'algorithme générique

	Résultat	Temps
Robin	<b>Sous-espace trouvé!</b> codimension 32	22h
iSCREAM	<b>Sous-espace trouvé!</b> codimension 32	22h
Zorro	<b>Sous-espace trouvé!</b> codimension 32	<1h
Fantomas	 <p>Avec probabilité 99.9%: Pas d'espace invariant de codimension &lt; 32</p>	
NOEKEON		
LED		
Keccak		

➔ Clefs faibles de densité  $2^{-32}$ , qui entraînent perte de confidentialité pour Robin, iSCREAM, Zorro.

# Cryptanalyse de Robin et Fantomas

# Robin

**Robin and Fantomas** [GLSV14], FSE 2014.

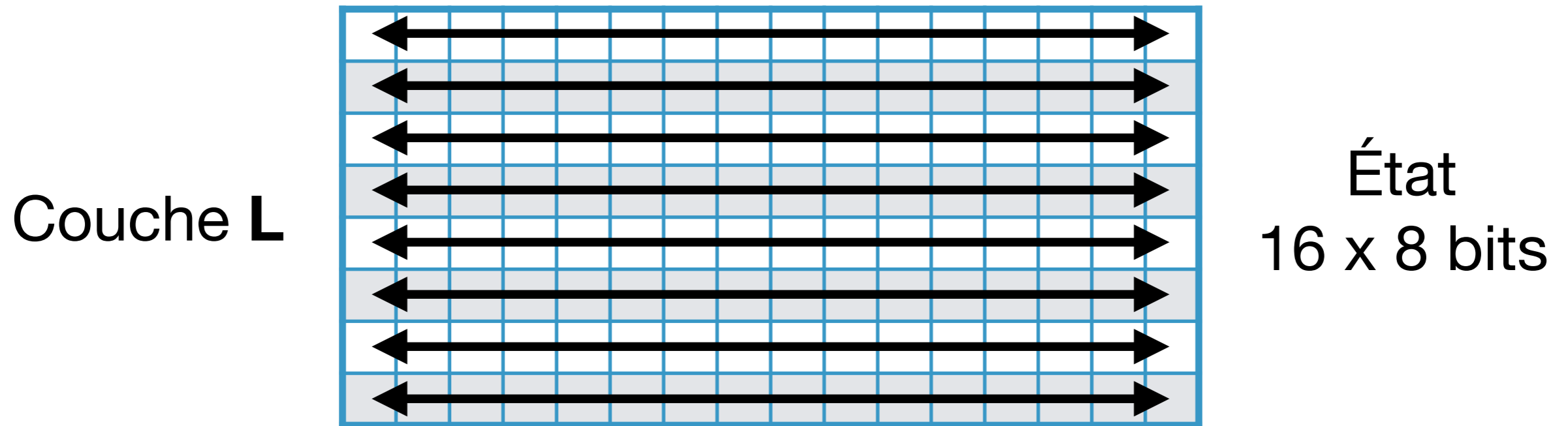
Chiffrements légers avec masquage facilité.

Bloc = 128 bits — Sécurité = 128 bits

Robin = version involutive.

Design simple et élégant : “LS-design”.

# Robin: couche L

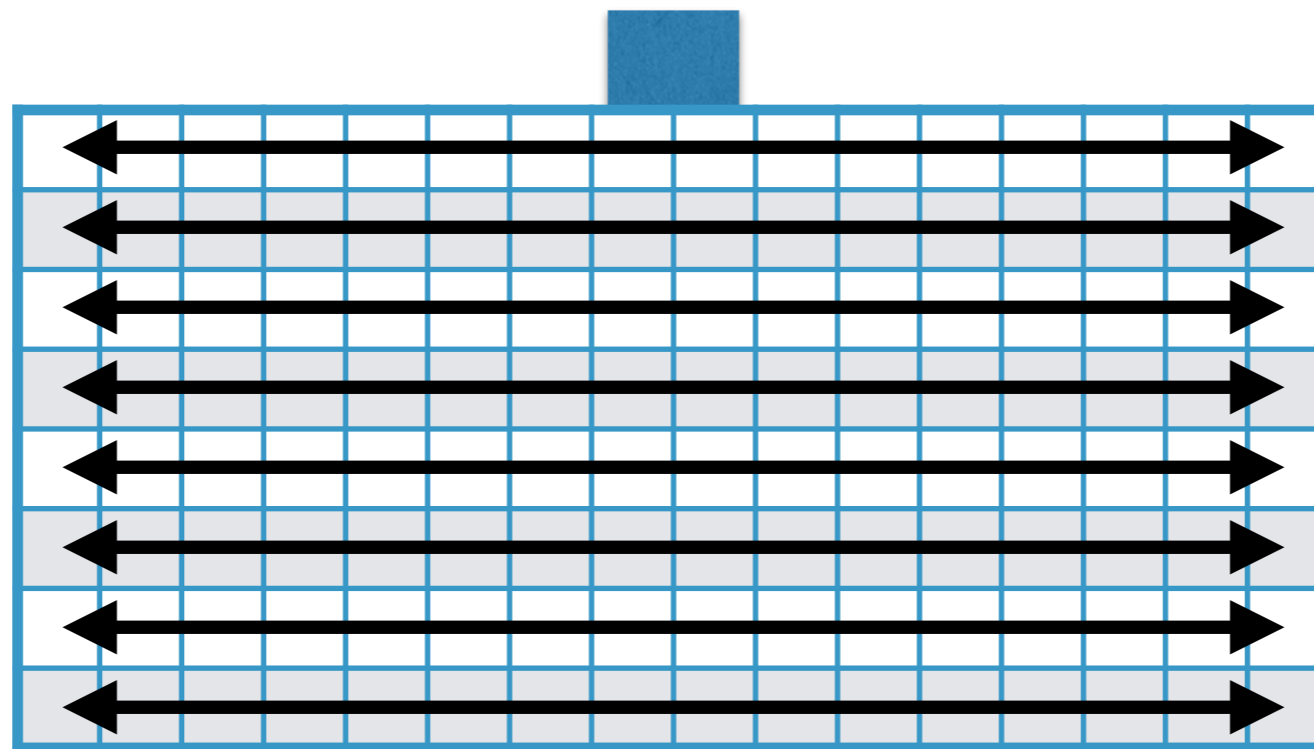


La même fonction linéaire  $L$  est appliquée à chaque rangée.



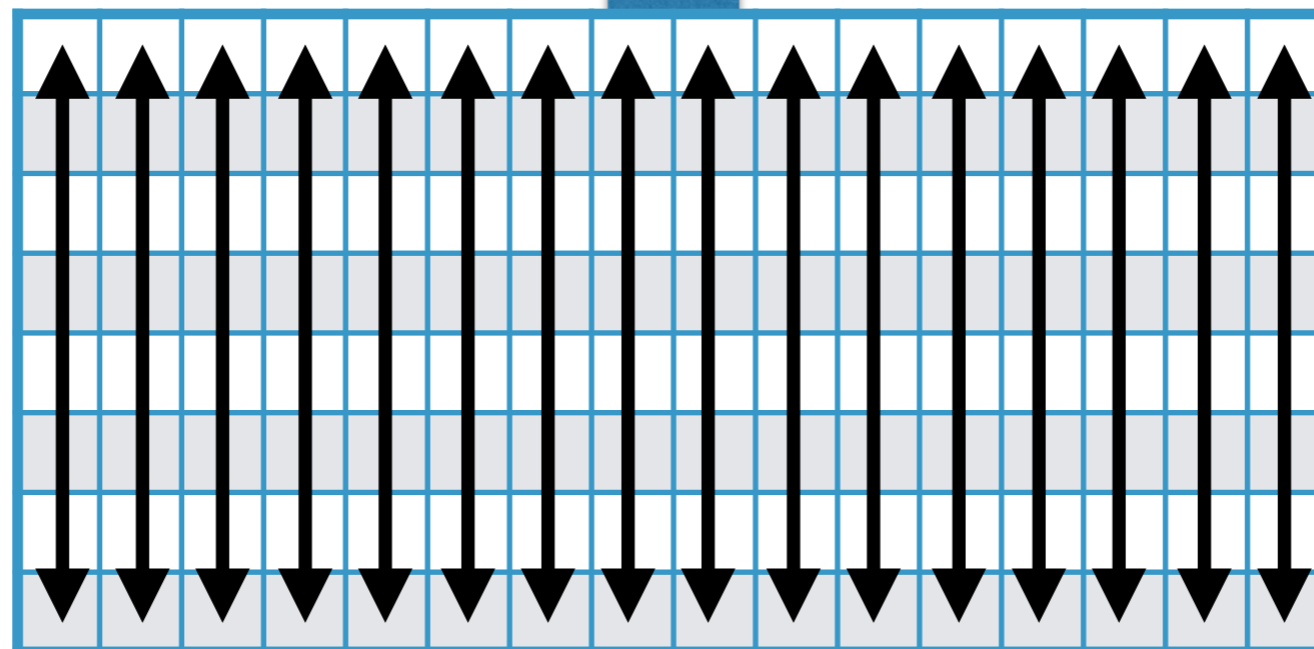
# Robin: couches LS

Couche **L**



Même fonction  
linéaire sur  
chaque rangée

Couche **S**



Même boîte **S**  
sur chaque  
colonne

# Fonction de tour de Robin

Un tour =

• Couche **L**



• Couche **S**

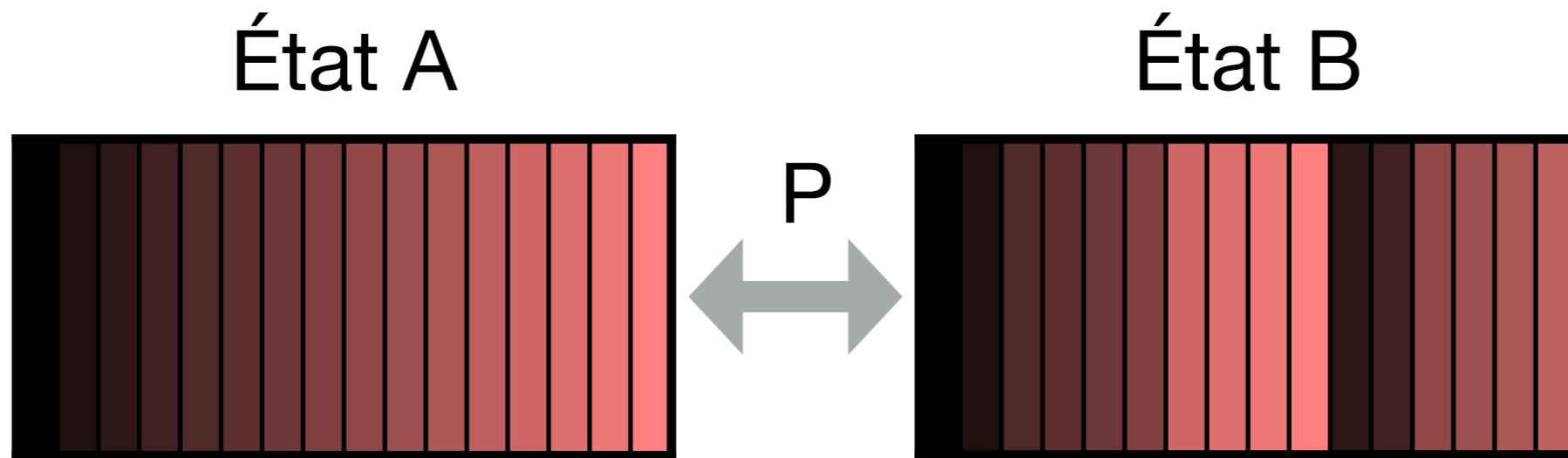


• Ajout de constante de tour

• Ajout de clef (pas de cadencement)

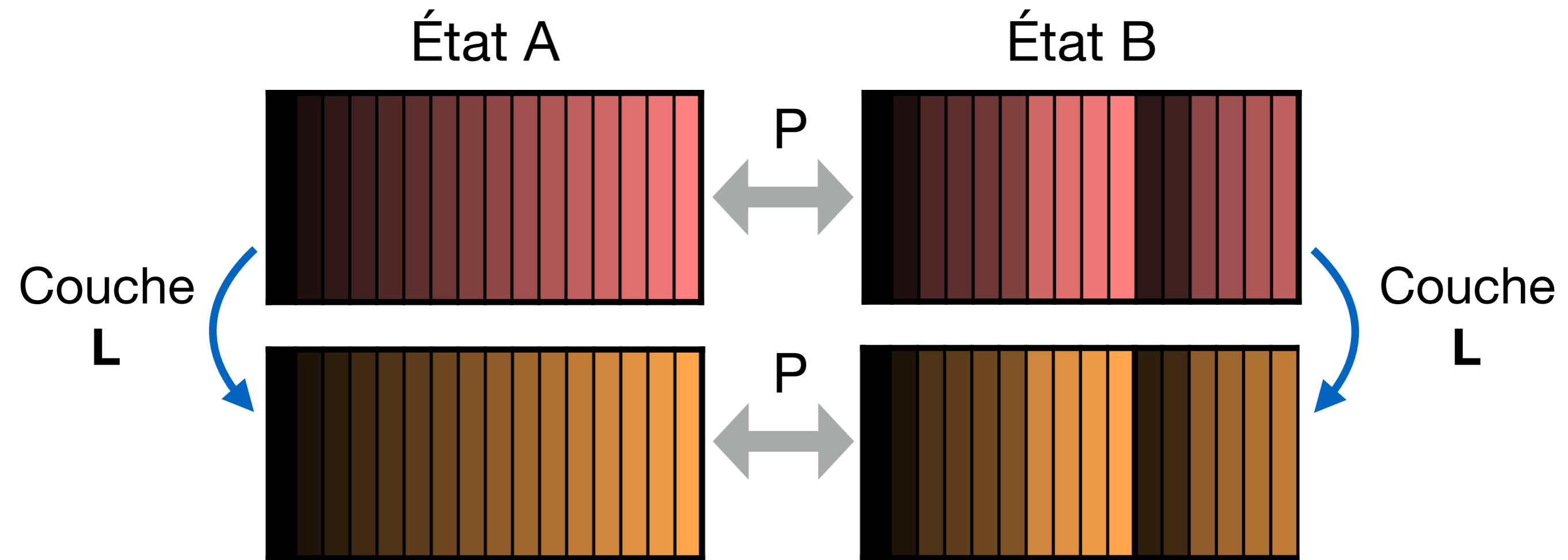
Un chiffrement = 16 tours.

# Permutations invariantes



État B = permutation des colonnes de l'état A

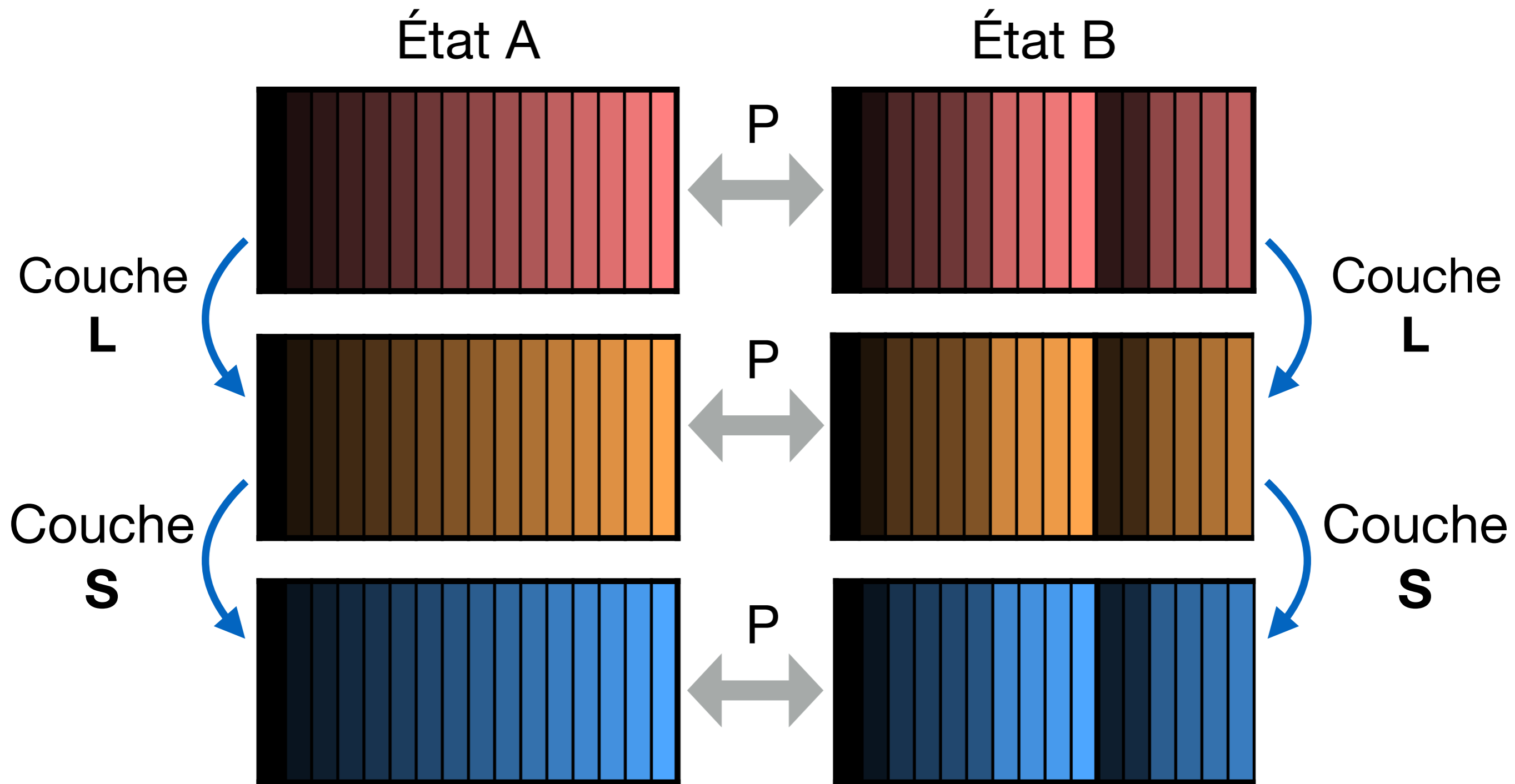
# Permutations invariantes



Supposons  **$PL = LP$** .

Alors l'état B reste une permutation de l'état A à travers la couche **L**.

# Permutations invariantes



La couche **S** a la même propriété gratuitement !

# Permutations invariantes

L'état B reste une permutation de l'état A à travers...

- La couche **L**: OK si  $LP = PL$ .
- La couche **S**: OK.
- L'ajout de constante : OK si  $P(C_i) = C_i$ .
- L'ajout de clef : OK si  $P(K_A) = K_B$ .

➔ P commute avec la fonction de tour entière !

# Attaque par permutation invariante

Si  $LP = PL$  et  $\forall i, C_i \in \ker(P + \text{Id})$ :

alors pour deux **clefs reliées**  $K_2 = P(K_1)$ ,

deux **clairs reliés**  $P_2 = P(P_1)$  restent liés à travers le chiffrement et donnent des **chiffrés reliés**  $C_2 = P(C_1)$ .

Si  $LP = PL$  et  $\forall i, C_i \in \ker(P + \text{Id})$ :

alors pour une clef **auto-reliée**  $K = P(K)$ ,

deux **clairs reliés**  $P_2 = P(P_1)$  restent liés à travers le chiffrement et donnent des **chiffrés reliés**  $C_2 = P(C_1)$ .

# Attaque par sous-espace invariant

Si  $LP = PL$  et  $\forall i, C_i \in \ker(P + \text{Id})$ :

alors pour une clef *auto-reliée*  $K = P(K)$ ,

des clairs *auto-reliés*  $M = P(M)$  produisent des

chiffrés *auto-reliés*  $C = P(C)$ .

Ceci est une attaque par sous-espace invariant !

Le sous-espace invariant est  $\ker(P + \text{Id})$ .



# Attaque sur Robin et iSCREAM

Robin et iSCREAM : une permutation adéquate  $P$ .

- Attaque à **clef faible**. Densité  $2^{-\text{codim ker}(P+\text{Id})} = 2^{-32}$
- Attaque à **clef reliée**.
- Données requises : 2 clairs choisis, coûts en temps et mémoire négligeables.

De plus, pour des clefs faibles:

- Les points fixes de  $P$  forment un sous-chiffrement.
- Recouvrement de la clef en temps  $2^{64}$ .

# Robin vs Zorro

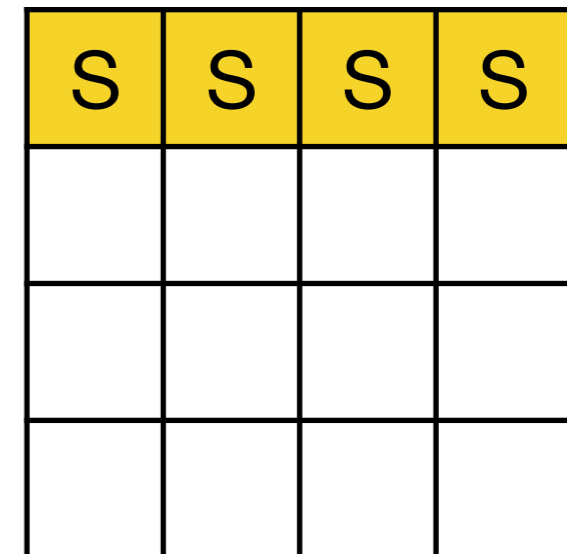
Zorro est un variante d'AES avec quelques différences notables :

- Pas de cadencement de clef.
- S-boîtes sur une seule rangée.

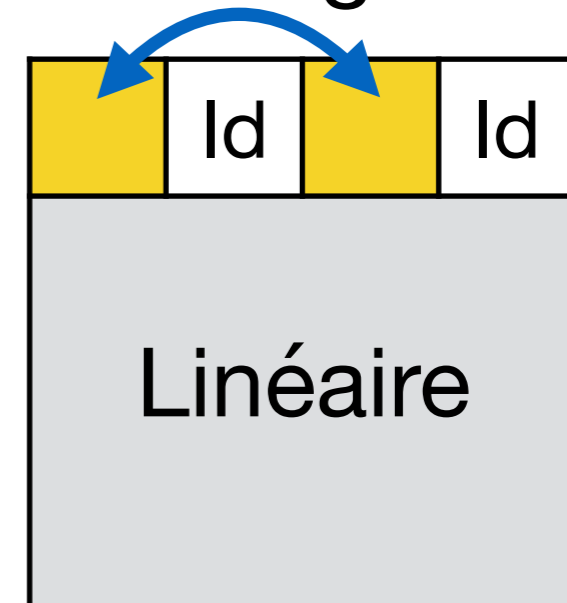
Cependant : il existe encore  $M$  qui commute avec la fonction de tour !

➔ **Toutes** les faiblesses de Robin.

En particulier, clefs faibles de densité  $2^{-32}$ .



Échange



# Conclusion

- Algorithme générique pour espaces invariants.  
Trouve automatiquement les attaques sur Robin, iSCREAM et Zorro.
- Cassage pratique de Robin, iSCREAM et Zorro.  
Clefs faibles de densité  $2^{-32}$  dans les trois cas.  
Basé sur un nouveau type d'autosimilarité.  
iSCREAM éliminé de CAESAR.
- Espaces invariants sur Midori, Haraka, AES.  
Invariant non-linéaire sur SCREAM, Midori [TLS16].

2<sup>e</sup> partie

Cryptanalyse structurelle d'**ASASA**

# Structure **ASASA**

À Asiacrypt 2014, Biryukov, Bouillaguet et Khovratovich ont proposé plusieurs applications de la structure **ASASA**.

$$\mathbf{F} = \mathbf{A} \circ \mathbf{S} \circ \mathbf{A} \circ \mathbf{S} \circ \mathbf{A}$$



Couche **A**ffine

Couche non-linéaire  
e.g. boîtes **S**

Trois applications proposées dans [BBK14]:

- 1 schéma «boîte noire»  
≈ chiffrement par bloc **X** [MDFK15]
- 2 schémas «boîte blanche forte»  
≈ chiffrements à clef publique
  - Variante «expanding S-box» **X** [GPT15]
  - Variante «avec  $\chi$ » **X** [MDFK15]
- 1 schéma «boîte blanche faible» **X** [MDFK15]  
& [DDKL15]

même  
attaque !

# Plan

1. Chiffrement à clef publique **ASASA** «avec  $\chi$ ».
2. Cryptanalyse.
3. Chiffrement symétrique **ASASA**.
4. Cryptanalyse (identique).

Chiffrement **ASASA** «avec  $\chi$ »



# Cryptographie multivariée

**Problème difficile:** résoudre un système aléatoire d'équations quadratiques sur un corps fini.

→ comment déduire un chiffrement  $\mathbb{F}_q^n \rightarrow \mathbb{F}_q^n$ :

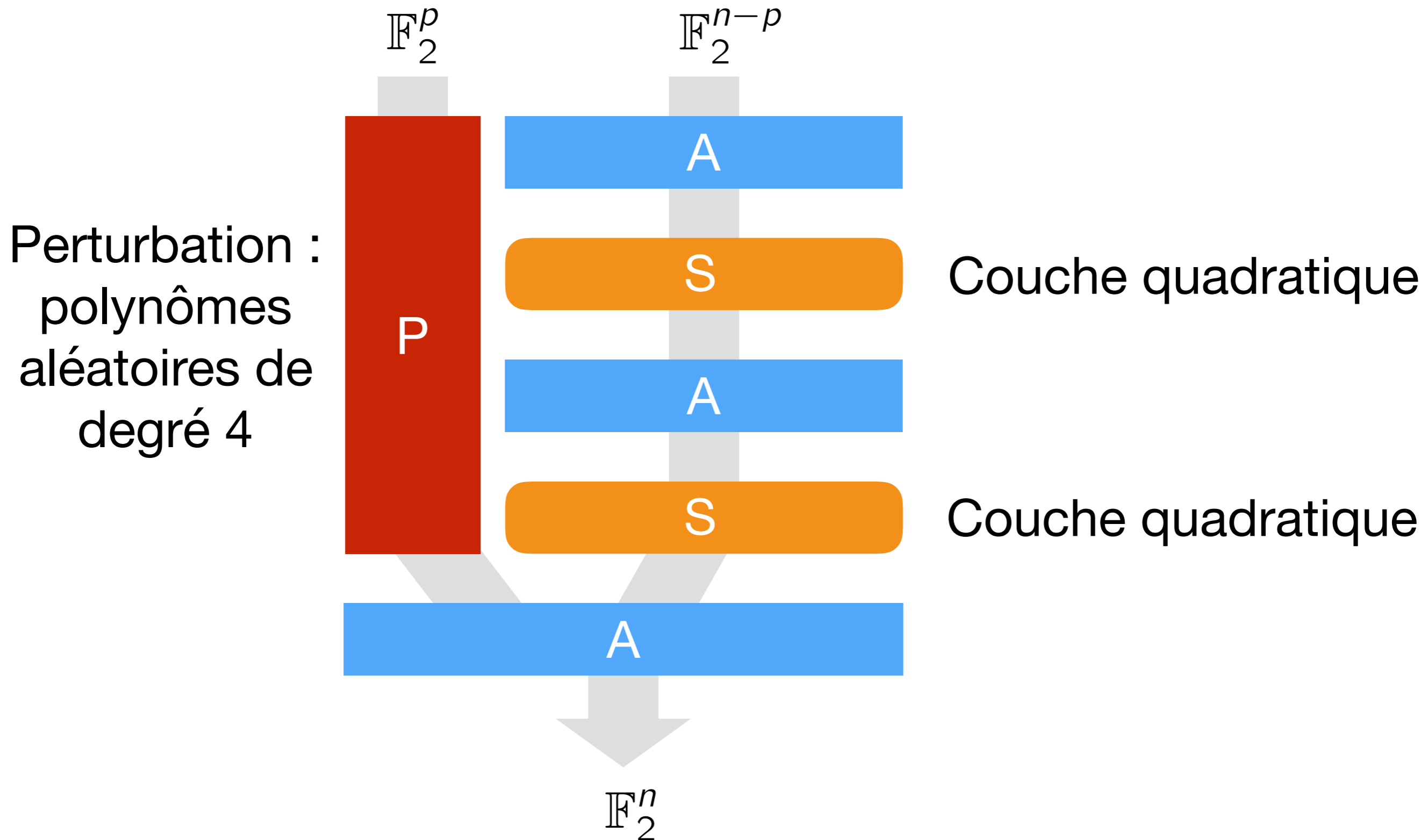
**Clef publique:** chiffrement **F** décrit comme une suite de  $n$  polynômes quadratiques en  $n$  variables.

**Clef privée:** structure cachée (décomposition) de **F** qui rend l'inversion facile.

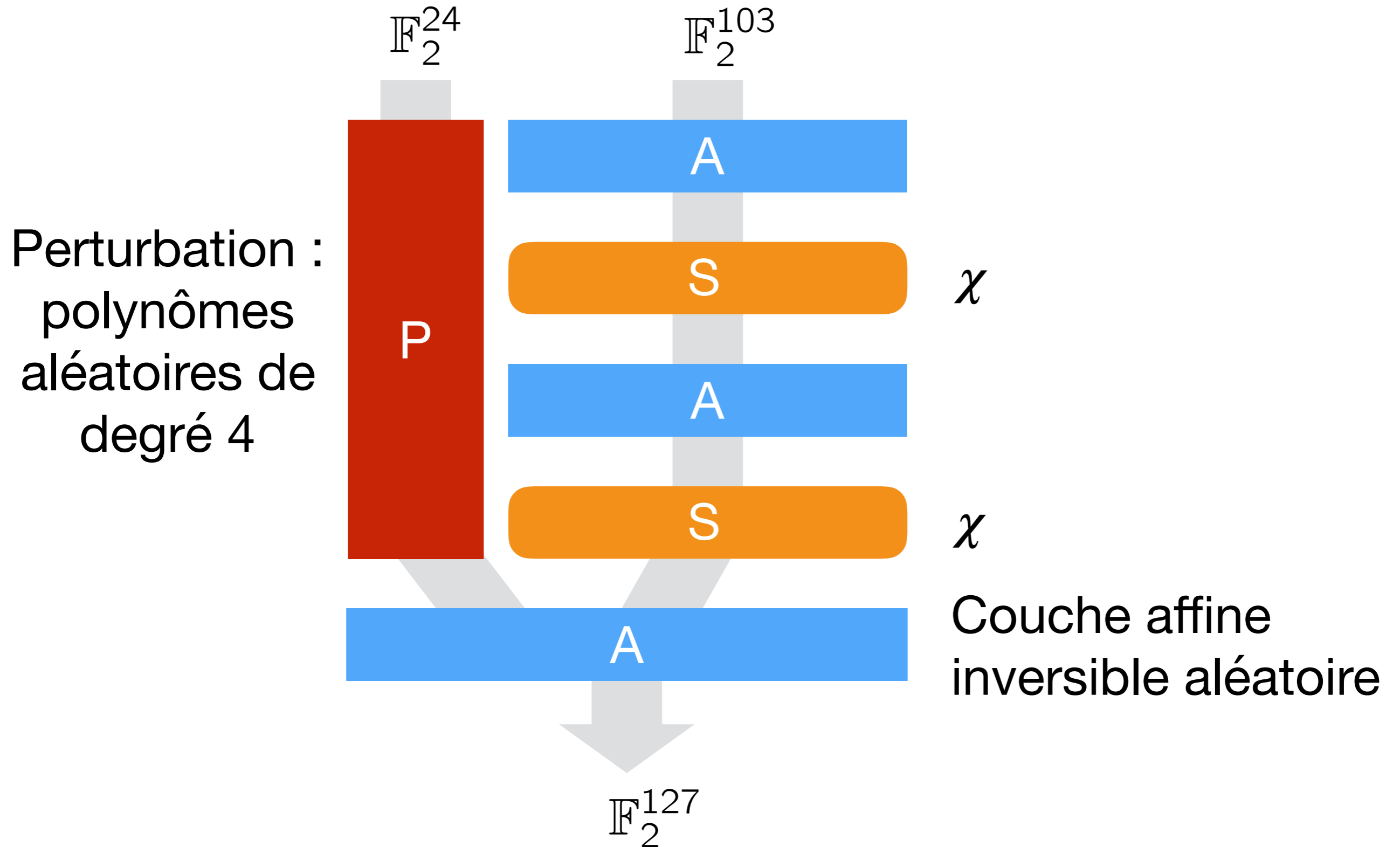
+: messages de petite taille, rapide avec clef privée.

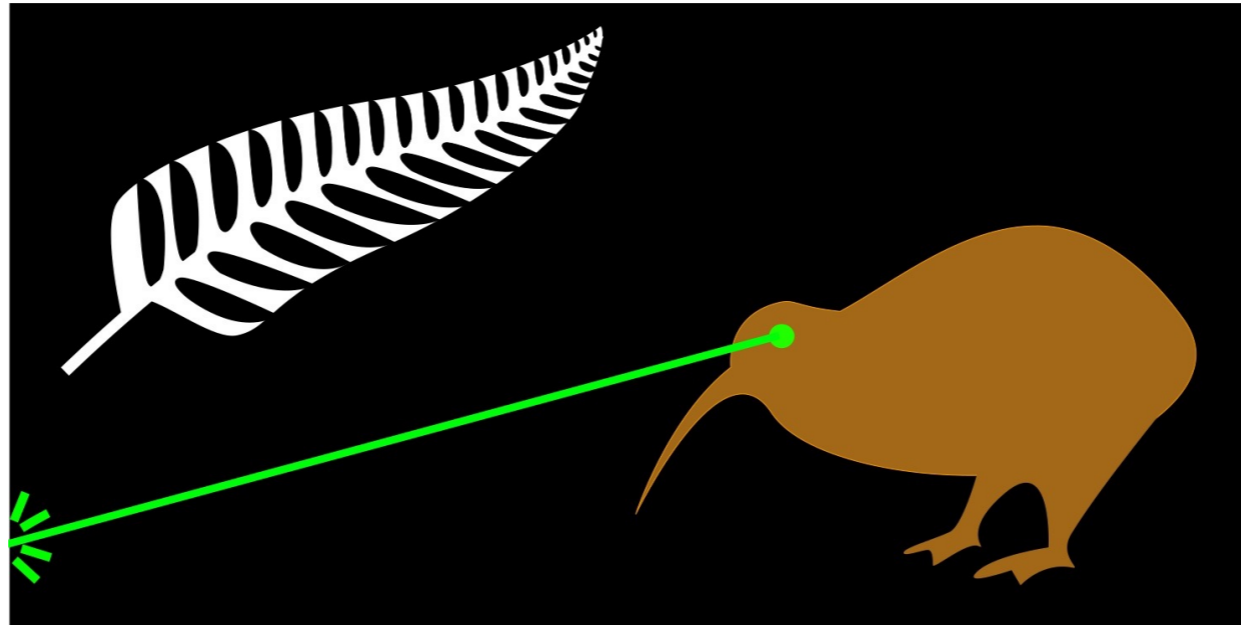
-: lent avec clef publique, grande clef, pas de réduction.

# Structure **ASASA** + **P** [BBK14]



# Instance «avec $\chi$ »





# Cryptanalyse

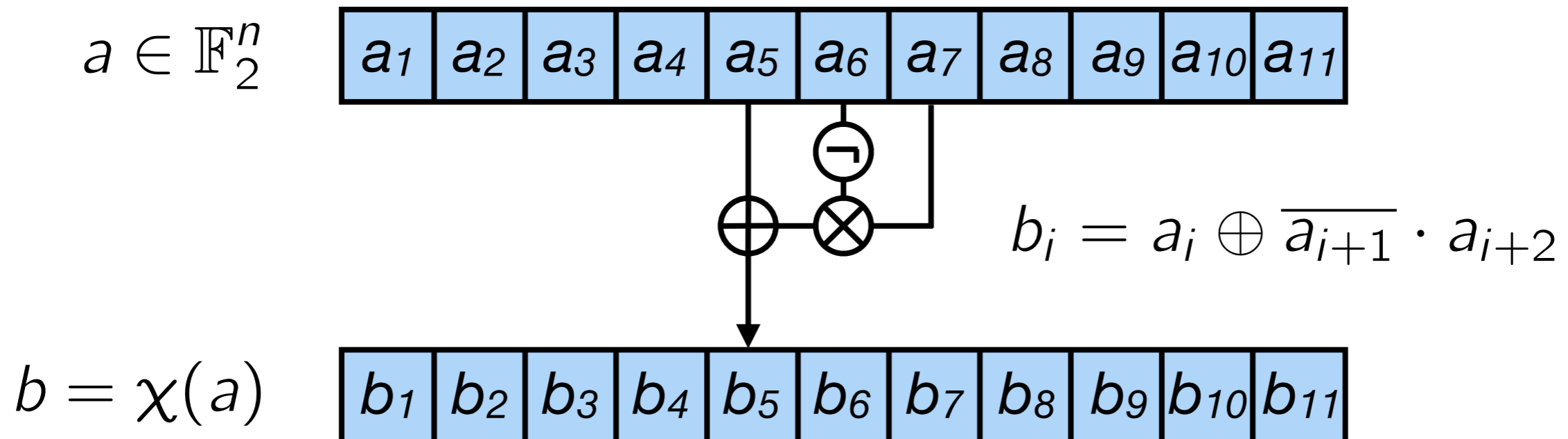
# Cubes

Un **cube** est un sous-espace affine [DS08].

**Fait** : Soit  $f$  un polynôme de degré  $d$  sur des variables binaires. Si  $C$  est un cube de dimension  $d+1$ , alors :

$$\sum_{c \in C} f(c) = 0$$

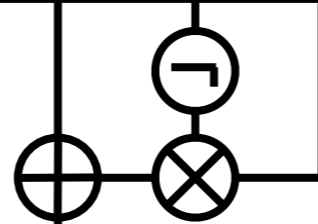
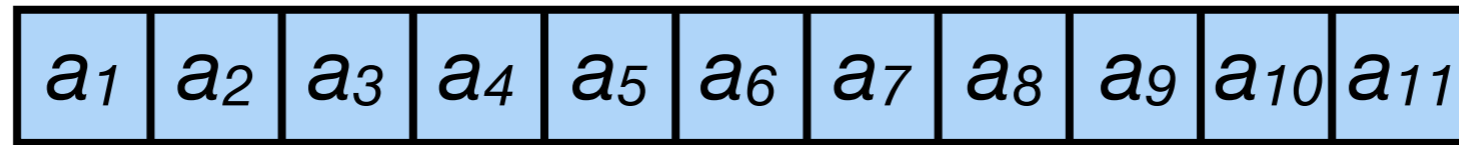
# Fonction $\chi$ de Keccak



Introduite par Daemen en 1995, rendue célèbre par son utilisation dans Keccak.

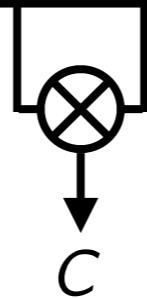
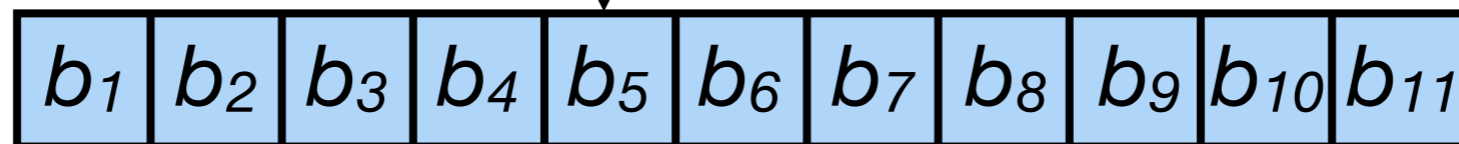
# Déficiencia de grado

$$a \in \mathbb{F}_2^n$$



$$b_i = a_i \oplus \overline{a_{i+1}} \cdot a_{i+2}$$

$$b = \chi(a)$$



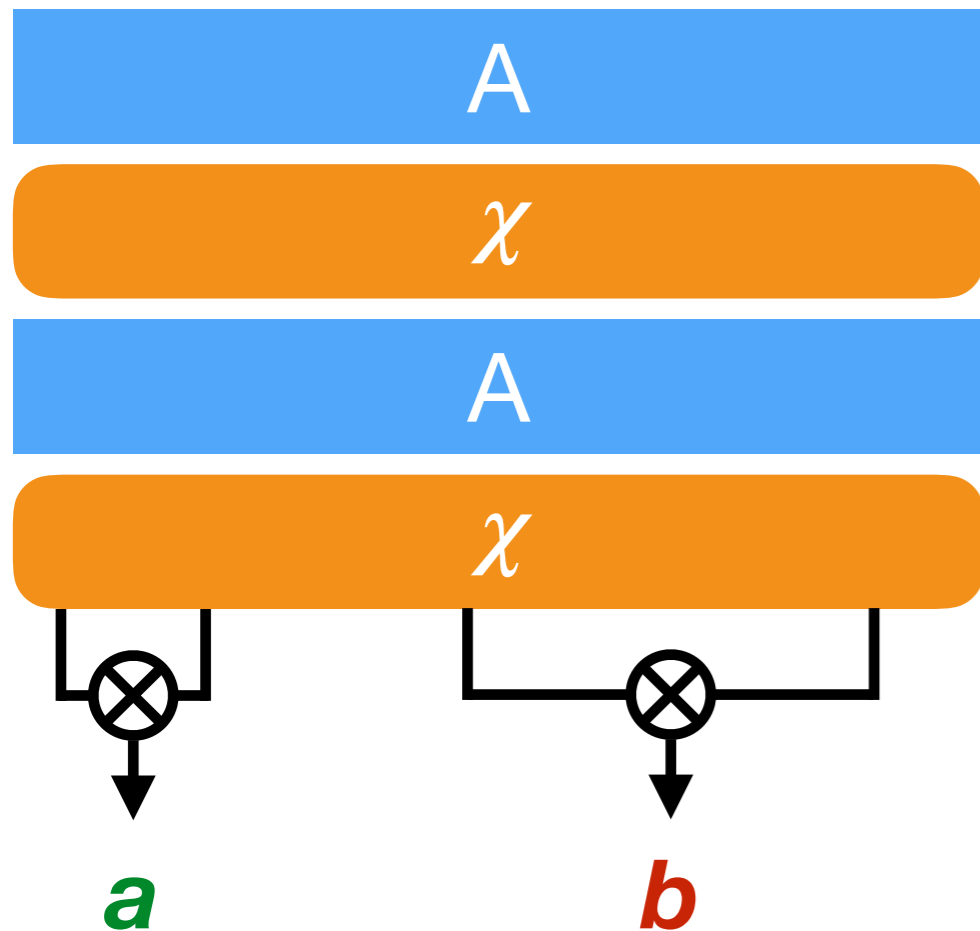
$c$

$$c = b_i \cdot b_{i+1}$$

$$= (a_i \oplus \overline{a_{i+1}} \cdot a_{i+2}) \cdot (a_{i+1} \oplus \overline{a_{i+2}} \cdot a_{i+3})$$

→  $c$  a degré 3. Somme à 0 sur un cube de dim 4.

# Cryptanalyse d'ASASA



► Soit  $a$  = produit de 2 bits **adjacents** en sortie de  $\chi$ .

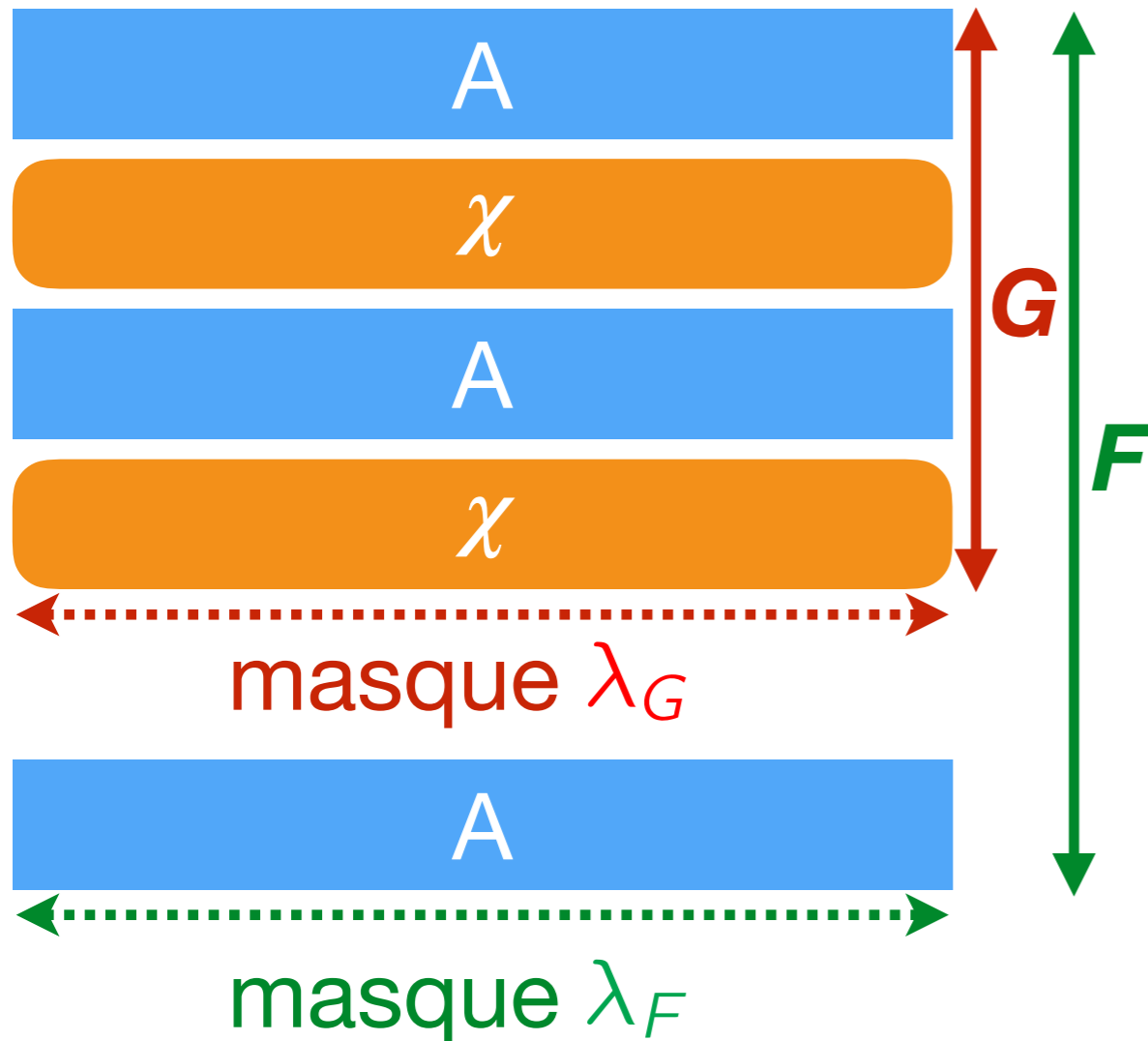
Alors  $a$  est de degré 6.

► Soit  $b$  = produit de 2 bits **non-adjacents** en sortie de  $\chi$ .

Alors  $b$  est de degré 8.



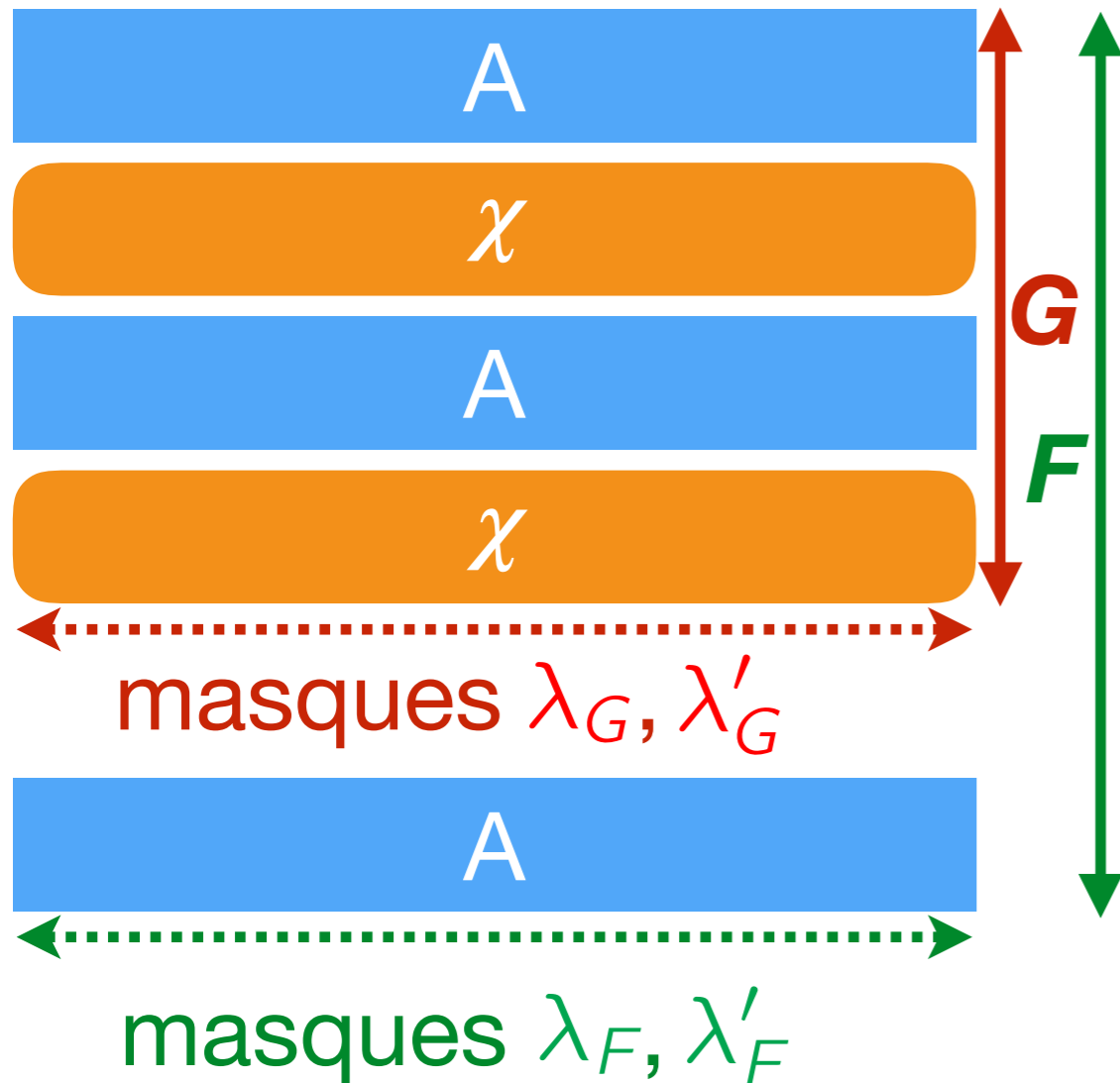
# Cryptanalyse d'ASASA



Soit  $\lambda_F$  un masque en sortie, i.e. on regarde  $\langle F | \lambda_F \rangle = x \mapsto \langle F(x) | \lambda_F \rangle$ .

Alors il existe un masque  $\lambda_G$  tel que  $\langle F | \lambda_F \rangle = \langle G | \lambda_G \rangle$ .

# Cryptanalyse d'ASASA

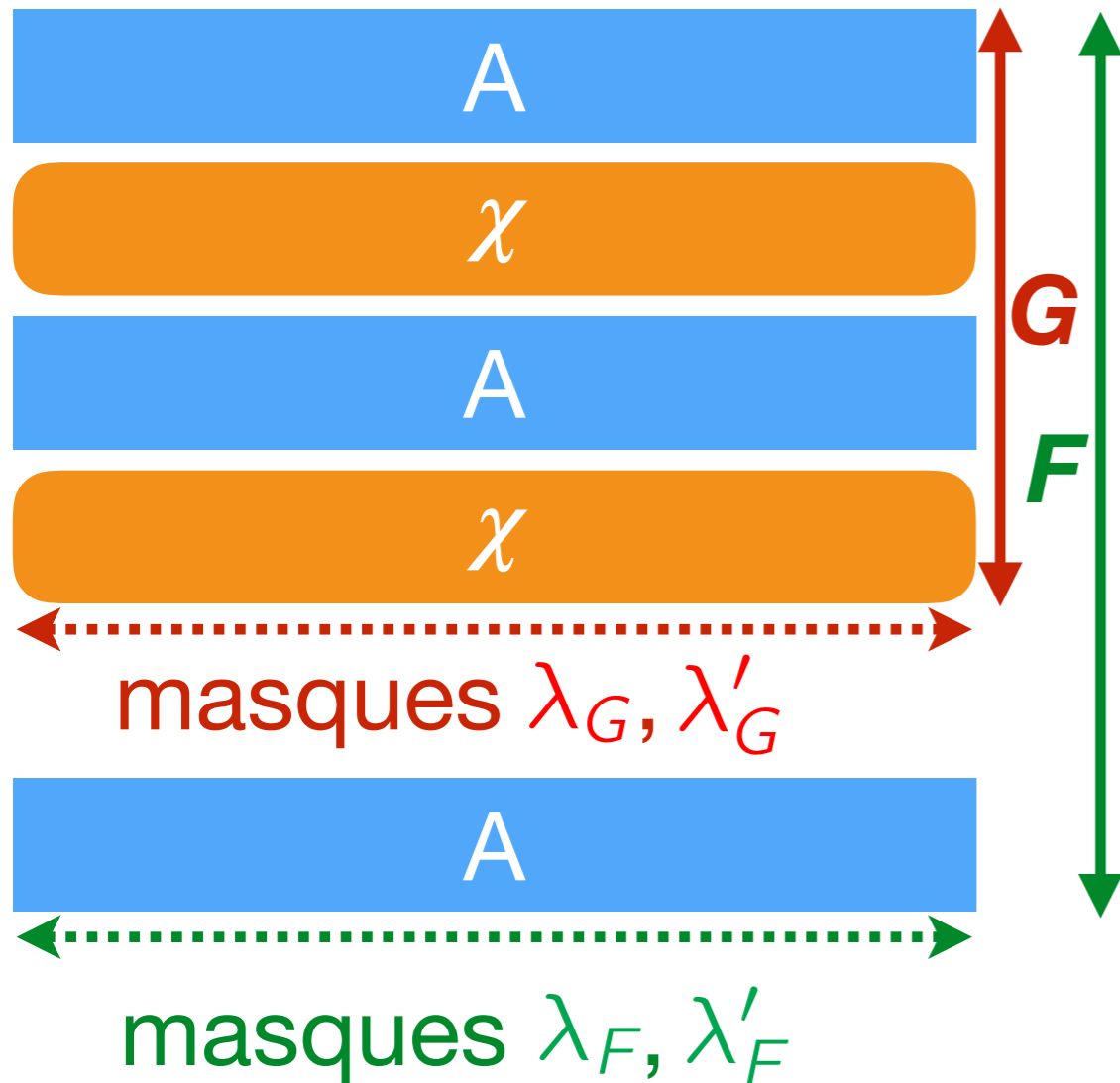


Soient  $\lambda_F, \lambda'_F$  deux masques en sortie, and  $\lambda_G, \lambda'_G$  avant **A**.

► Si  $\lambda_G$  et  $\lambda'_G$  activent deux bits **isolés et adjacents**, alors  $\langle F | \lambda_F \rangle \cdot \langle F | \lambda'_F \rangle$  est de degré 6.

► Sinon  $\langle F | \lambda_F \rangle \cdot \langle F | \lambda'_F \rangle$  est de degré 8.

# Cryptanalyse d'ASASA



**But :** Trouver  $\lambda_F, \lambda'_F$  tels que  
 $\deg(\langle F | \lambda_F \rangle \cdot \langle F | \lambda'_F \rangle) = 6$

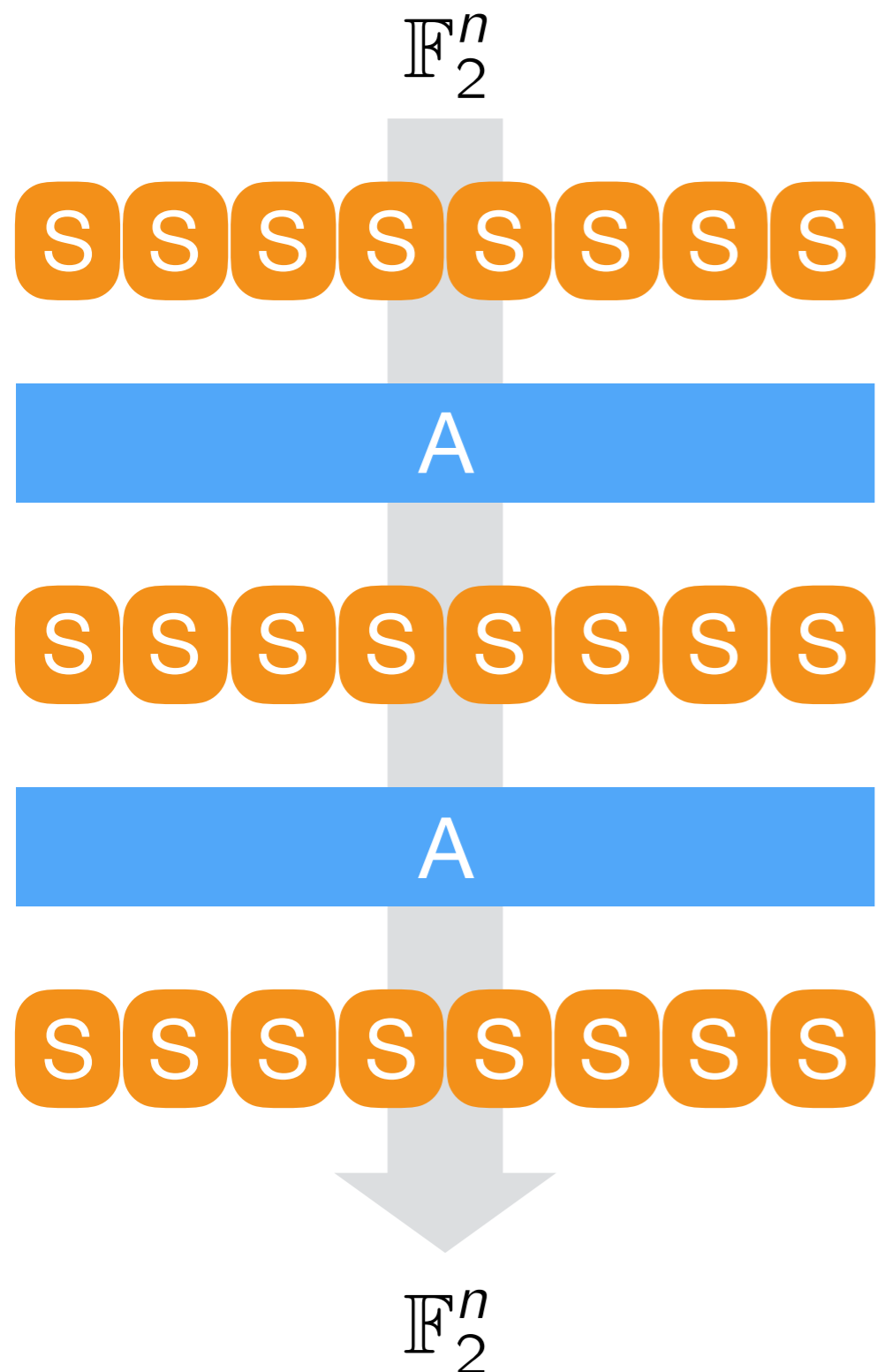
Soit  $C$  cube de dimension 7. Alors :

$$\sum_{c \in C} \langle F(c) | \lambda_F \rangle \cdot \langle F(c) | \lambda'_F \rangle = 0$$

→ donne une équation sur  $\lambda_F, \lambda'_F$ .

**ASASA** en «boîte noire»

# Structure **SASAS**



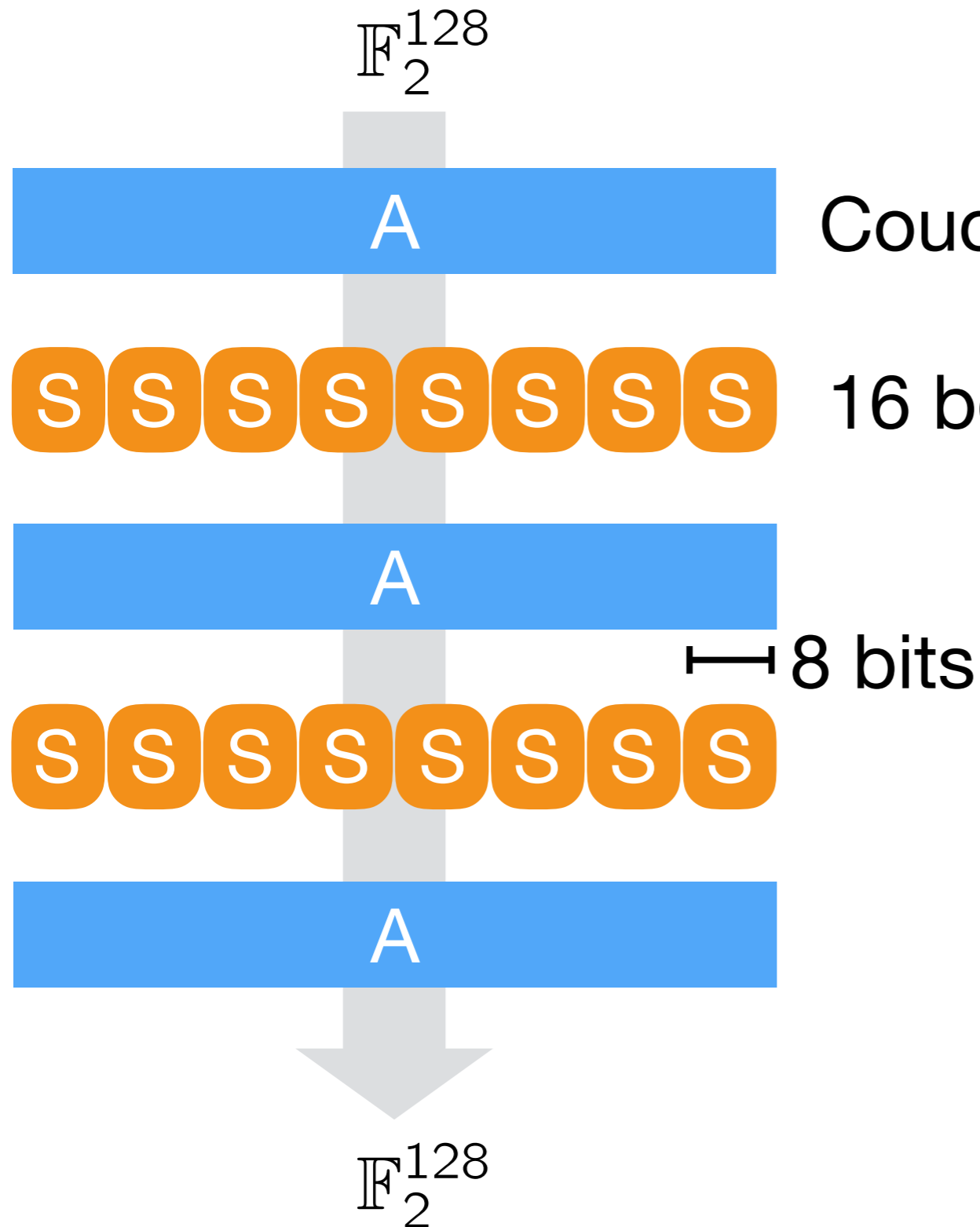
Analysée par Biryukov et Shamir à Eurocrypt 2001.

Couche **A** affine aléatoire sur  $n$  bits.

Boîtes **S** aléatoires indépendantes chacune sur  $k$  bits.

→ **But**: recouvrer tous les composants internes (couches affines **A** et boîtes **S**) avec accès «boîte noire» (KP/CP/CC).

# ASASA «boîte noire» [BBK14]



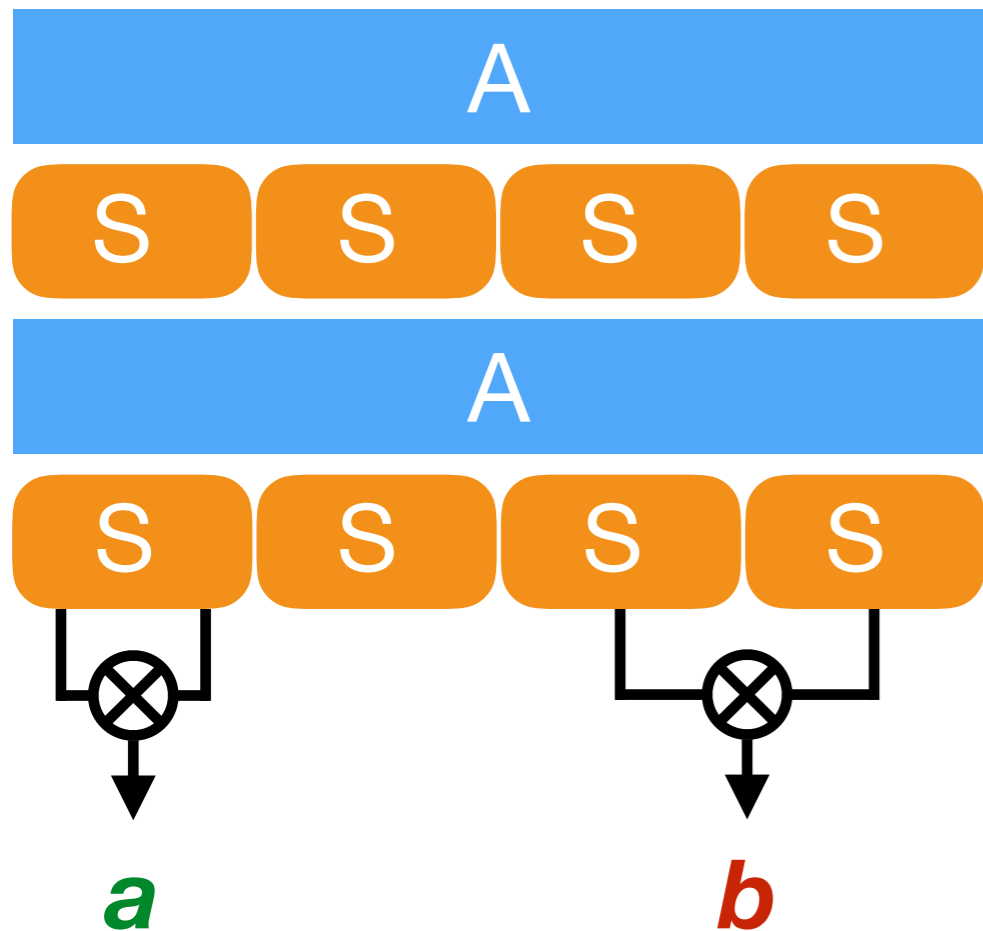
Couches **A** aléatoires sur 128 bits.

16 boîtes **S** indépendantes

**But** : recouvrir tous les composants internes.

**Note**: degré  $\leq 49$   
 $\Rightarrow$  distingueur en  $2^{50}$  CP.

# Cryptanalyse d'**ASASA**



Degré d'une boîte  $S = 7$ .

► Soit  $a$  = produit de 2 bits en sortie d'une **seule boîte S commune**.

Alors  $a$  est de degré  $7 \times 7 = 49$ .

► Soit  $b$  = produit de 2 bits en sortie de deux boîtes **S distinctes**.

Alors  $b$  est de degré max (127).

# Variantes d'ASASA

- Article de Biryukov et Khovratovich :  
La même attaque s'étend à **ASASASA** et même **SASASASAS** (ePrint, june 2015).
- Observation de Dinur, Dunkelman, Kranz et Leander :  
La même attaque s'applique encore pour des petites tailles de blocs (variantes «boîtes blanches faibles» de [BBK14]).

En effet l'obstacle principal est que la fonction globale ne doit pas être de degré max (→ bornes de Boura, Canteaut et de Cannière sur le degré de fonctions booléennes composites).



# Conclusion

- Nouvelle attaque sur structures ASASA.
- Non présenté : attaque à base de LPN sur le schéma «avec  $\chi$ ».
- Problèmes ouverts :
  - Autres applications de l'attaque.
  - Construction sûre en boîte blanche.

3<sup>e</sup> partie

# Cryptanalyse de CLT15

# Applications multilinéaires

- Nombreuses applications, «crypto-complet».

Obfuscation générale de programme, échange de clef multiparti sans interaction, witness encryption...

- Peu de constructions.

GGH13 (réseaux)

Garg, Gentry, Halevi, Eurocrypt'13

✗ [HJ15] (éch. de clef)

CLT13 (entiers)

Coron, Lepoint, Tibouchi, Crypto'13

✗ [CHLRS15] (idem)

GGH15 (avec graphes)

Gentry, Gorbunov, Halevi, TCC'15

✗ [CLLT16] (idem)

CLT15 (modification de CLT13)

Coron, Lepoint, Tibouchi, Crypto'15

✗ [CFLMR16] (idem)  
([CLR15] + [MF15])

# Applications multilinéaires

Message :  $c \in \mathbb{Z}/n\mathbb{Z}$

Encodage :  $g^c \in \mathbb{G}$

$\mathbb{G}$  groupe d'ordre  $n$  généré par  $g$ .

## Homomorphisme additif :

Addition de messages = multiplication des encodages. ✓

Multiplication de messages = Diffie-Hellman. ✗

# Applications multilinéaires

**Application multilinéaire :**

$$e : \mathbb{G}^\kappa \rightarrow \mathbb{H}$$
$$(g^{x_1}, g^{x_2}, \dots, g^{x_\kappa}) \mapsto h^{x_1 \cdots x_\kappa}$$

où  $g, h$  sont générateurs de  $\mathbb{G}, \mathbb{H}$ .

**Application multilinéaire à niveaux (*leveled*) :**

$$e_{i,j} : \mathbb{G}_i \times \mathbb{G}_j \rightarrow \mathbb{G}_{i+j} \quad \text{pour } i + j \leq \kappa.$$
$$(g_i^x, g_j^y) \mapsto g_{i+j}^{xy}$$

où  $g_i$  est générateur de  $\mathbb{G}_i, i \leq \kappa$ .

# Schémas d'encodage gradués

**Schéma d'encodage gradué** (*graded encoding scheme*) :

Message :  $c \in \mathcal{P}$

Encodage :  $\text{enc}_i(c) \in \mathcal{C}_i$  au niveau  $i$ . Non déterministe.

Les encodages sont munis de :

- Addition :  $\text{enc}_i(x) + \text{enc}_i(y) = \text{enc}_i(x + y)$
- Multiplication :  $\text{enc}_i(x) \cdot \text{enc}_j(y) = \text{enc}_{i+j}(xy)$

Les encodages sont bruités (comme FHE).

**Zéro-test** : procédure publique  $z : \mathcal{C}_\kappa \rightarrow \{0, 1\}$

$$\text{enc}_\kappa(x) \mapsto 1 \text{ ssi } x = 0$$

# Encodage dans CLT15

Soient  $n$  nombres premiers  $g_i$  et  $p_i$  avec  $g_i \ll p_i$ .

Soit  $z < x_0 = \prod p_i$ .

Espace des messages :  $\prod_{i \leq n} \mathbb{Z}/g_i\mathbb{Z}$

Encodage de  $(m_1, \dots, m_n) \in \prod_{i \leq n} \mathbb{Z}/g_i\mathbb{Z}$  au niveau  $k$  :

entier  $e$  tel que  $\forall i, e \bmod p_i = \frac{r_i g_i + m_i}{z^k} \bmod p_i$  :

$$e = \text{CRT}_{(p_i)} \left( \frac{r_i g_i + m_i}{z^k} \right) + ax_0$$

avec  $r_i, a$ , petits bruits (secrets).

# Opérations dans CLT15

Encodage au niveau  $k$  :  $e = \text{CRT}_{(p_i)} \left( \frac{r_i g_i + m_i}{z^k} \right) + a x_0$

Addition et multiplication d'encodages  
= addition et multiplication dans les entiers !

La multiplication double la taille des encodages...

- ▶ Une **échelle** d'encodages de zéro de tailles croissantes permet de réduire la taille des encodages obtenus.



# Zéro-test dans CLT15

Encodage au niveau  $\kappa$  :  $e = \text{CRT}_{(p_i)} \left( \frac{r_i g_i + m_i}{z^\kappa} \right) + a x_0$

En développant :  $e = \sum (r_i + m_i g_i^{-1}) u_i + a x_0$

**Zéro-test** : premier  $N \gg x_0$  et entier  $p_{zt} < N$  tels que :

$$|v_0| = |x_0 p_{zt} \bmod N| \ll N$$

$$|v_i| = |u_i p_{zt} \bmod N| \ll N$$

Par conséquent pour un encodage de zéro  $e$  :

$$|e p_{zt} \bmod N| = \left| \sum r_i v_i + a v_0 \right| \ll N$$

► Procédure de zéro-test :  $z(e)$  renvoie 1 ssi  $|e p_{zt} \bmod N| \ll N$

# Cryptanalyse

# Attaque : extraction entière

Encodage de zéro au niveau  $\kappa$  :

$$e = \sum r_i u_i + a x_0$$

$$e p_{zt} \bmod N = \sum r_i v_i + a v_0 \quad \text{dans les entiers}$$

«Extraction entière» :

$$\phi : \sum r_i u_i + a x_0 \mapsto \sum r_i v_i + a v_0$$

- $\phi$  est bien définie (pour  $r_i$  dans  $] -p_i/2, p_i/2]$ ).
- $\phi(e) = e p_{zt} \bmod N$  pour  $e$  petit.
- Pour  $e$  grand, on calcule  $\phi$  en remarquant que  $\phi$  est  $\mathbb{Z}$ -linéaire ! (tant que les  $r_i$  ne dépassent pas  $p_i$ )

# Attaque : déterminant

Prenons :  $n + 1$  encodages  $a_i$  au niveau 1.  
 $n + 1$  encodages  $b_i$  au niveau  $\kappa - 1$ .

On peut écrire :

$$a_i b_j = \sum a_{i,k} b_{j,k} u_k + c_{i,j} x_0$$
$$\phi(a_i b_j) = \sum a_{i,k} b_{j,k} v_k + c_{i,j} v_0$$

**Modulo  $v_0$**  c'est un produit matriciel !

$$\begin{bmatrix} \vdots \\ \dots \phi(a_i b_j) \dots \\ \vdots \end{bmatrix} = \begin{bmatrix} \vdots \\ \dots a_{i,k} \dots \\ \vdots \end{bmatrix} \begin{bmatrix} \ddots & & 0 \\ & v_k & \\ 0 & & \ddots \end{bmatrix} \begin{bmatrix} \vdots \\ \dots b_{j,k} \dots \\ \vdots \end{bmatrix}^T$$

- ▶ Le rang est  $\leq n$ , donc  $\det \left( \begin{bmatrix} \phi(a_i b_j) \end{bmatrix} \right) = 0 \pmod{v_0}$ .
- ▶  $v_0 = \text{pgcd} \left( \det \left( \begin{bmatrix} \phi(a_i b_j) \end{bmatrix} \right), \det \left( \begin{bmatrix} \phi(a'_i b'_j) \end{bmatrix} \right) \right)$ .

# Conclusion de l'attaque

L'attaque retrouve  $v_0$  en temps polynomial. On recouvre aussi directement  $x_0 = v_0 / p_{zt} \bmod N$ .

La connaissance de  $x_0$  ramène essentiellement CLT15 à CLT13.

On remonte ensuite à tous les autres paramètres secrets comme dans [CHLRS15].

# Bilan

	Échange de clef multiparti	Obfuscation v1	Obfuscation v2
GGH13	×	×	?
CLT13	×	?	
GGH15	×		
CLT15	×	= CLT 13	

Obfuscation v1 : constructions qui supposent que les applications multilinéaires sont sûres.

Obfuscation v2 : constructions qui tiennent compte des attaques existantes et cherchent à les éviter structurellement.

# Publications

- Thomas Fuhr and Brice Minaud. **Match box meet-in-the-middle attack against KATAN**. FSE 2014.
- Brice Minaud. **Linear biases in AEGIS keystream**. SAC 2014.
- Gregor Leander, Brice Minaud, and Sondre Rønjom. **A generic approach to invariant subspace attacks: cryptanalysis of Robin, iSCREAM and Zorro**. EUROCRYPT 2015.
- Brice Minaud and Yannick Seurin. **The iterated random permutation problem with applications to cascade encryption**. CRYPTO 2015.
- Brice Minaud, Patrick Derbez, Pierre-Alain Fouque, and Pierre Karpman. **Key-recovery attacks on ASASA**. ASIACRYPT 2015. Invited to the Journal of Cryptology.
- Jung Hee Cheon, Pierre-Alain Fouque, Changmin Lee, Brice Minaud, and Hansol Ryu. **Cryptanalysis of the new CLT multilinear map over the integers**. EUROCRYPT 2016.
- Pierre-Alain Fouque, Pierre Karpman, Paul Kirchner, and Brice Minaud. **Efficient and provable white-box primitives**. To appear in ASIACRYPT 2016.

Merci !